

И.А.Павлюченков²⁾, В.П.Пиптюк¹⁾, И.Н.Логозинский³⁾,
М.В.Бабенко²⁾, С.В.Греков¹⁾, Г.А.Андриевский²⁾

ИССЛЕДОВАНИЕ КИНЕТИКИ ПЛАВЛЕНИЯ ЛЕГКОПЛАВКИХ КУСКОВЫХ ДОБАВОК НА ГРАНИЦЕ РАЗДЕЛА ФАЗ «ШЛАК–МЕТАЛЛ»

*Институт чёрной металлургии НАН Украины¹⁾
Днепродзержинский государственный технический университет²⁾
ПАО «Днепроспецсталь»³⁾*

Целью настоящей работы является разработка математической модели процессов плавления легкоплавких кусковых добавок разной геометрической формы на границе раздела фаз «шлак – металл» и её опробование для оценки продолжительности плавления таких добавок в зависимости от технологических факторов. Проведено моделирование плавления таких добавок цилиндрической и сферической формы в указанных условиях. Оценена продолжительность плавления легкоплавких добавок разного фракционного состава при вводе в заполняемый металлическим расплавом сталеразливочный ковш.

граница раздела фаз «шлак – металл», плавление, легкоплавкая добавка, математическая модель

Состояние вопроса. Разработка математических моделей, позволяющих изучать процессы плавления кусковых добавок различного состава, формы и свойств, которые используются на разных этапах производства стали, является актуальной научно–технической задачей. Наличие такого математического аппарата позволит осуществлять прогноз усвоения добавок в зависимости от условий ввода в металлический расплав и сформировать направления поиска в повышении эффективности использования не только дорогостоящих, но и импортируемых материалов.

В ранее разработанной математической модели процессов плавления тугоплавких кусковых добавок на границе раздела фаз «шлак–металл» [1] подробно рассмотрены разные периоды процесса, но недостаточно описаны особенности модели и алгоритма расчёта относительно разной геометрической формы куска–добавки. Кроме того, отмечена необходимость доработки модели плавления в части сферической формы добавки.

Разработка математической модели и её описание. Ниже представлено математическое описание разработанной математической модели процессов плавления легкоплавких кусковых добавок цилиндрической и сферической формы на границе раздела фаз «шлак–металл». Расчётная область с выделенными (рассматриваемыми) контрольными объёмами добавок разной формы представлена на рис. 1.

Перед всплытием добавки на границу «шлак–металл» (далее – границу фаз) приняли, что на её поверхности уже сформирована первичная ме-

таллическая оболочка, образованная в период пребывания последней в металлическом расплаве.

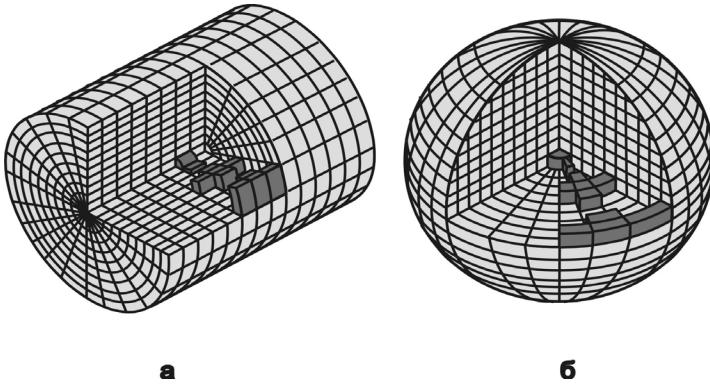


Рис.1. Схематическое представление расчётной области плавления добавки цилиндрической (а) и сферической (б) формы

Приняли также, что температуры жидкого металла $t_{ж}$ и жидкого шлака $t_{ш}$ выше температуры $t_{пл}$ плавления добавки. На верхней поверхности добавки, находящейся в расплаве шлака ($0 < \vartheta < \vartheta_0$), происходит конвективный теплообмен с жидким шлаком с заданным коэффициентом теплоотдачи $\alpha_{ш}$. На остальной поверхности добавки ($\vartheta_0 < \vartheta < \pi$) происходит конвективный теплообмен с жидким металлом с заданным коэффициентом теплоотдачи $\alpha_{м}$. Уравнение теплопроводности для разных фаз плавления (твёрдой, двухфазной, жидкой) добавки цилиндрической формы имеет вид:

$$C_{эф}\rho \frac{\partial T(r, \vartheta, \tau)}{\partial \tau} = \left[\lambda \frac{\partial^2 T}{\partial r^2} \right] + \frac{\lambda}{r} \frac{\partial T}{\partial r} + \frac{1}{r^2} \left[\lambda \frac{\partial^2 T}{\partial \vartheta^2} \right], \quad (1)$$

$$0 < r < R_0 \quad 0 < \vartheta < \pi,$$

где: R_0 – радиус добавки цилиндрической и сферической формы.

Распределение температуры в добавке сферической формы описывали двумерным уравнением теплопроводности:

$$C_{эф}\rho \frac{\partial T(r, \vartheta, \tau)}{\partial \tau} = \frac{\lambda}{r^2} \frac{\partial}{\partial r} \left[r^2 \frac{\partial T}{\partial r} \right] + \frac{\lambda}{r \sin \vartheta} \frac{\partial}{\partial \vartheta} \left[\frac{1}{r} \sin \vartheta \frac{\partial T}{\partial \vartheta} \right], \quad (2)$$

$$0 < r < R_0, \quad 0 < \vartheta < \pi$$

$$c_{эф}(t) = \begin{cases} c_{жс}(t), t \geq t_L^T \\ c_{m\phi}(t) + Q_{m\phi} \frac{d\psi(t)}{dt}, t_S^T < t < t_L^T \\ c_{m\phi}(t), t \leq t_S^T \end{cases} \quad \bar{\rho}(t) = \begin{cases} \rho_{жс}(t), t \geq t_L^T \\ (\rho_{m\phi}(t) + \rho_{жс}(t))/2, t_S^T < t < t_L^T \\ \rho_{m\phi}(t), t \leq t_S^T \end{cases} \quad (3)$$

$$\bar{\lambda}(t) = \begin{cases} \lambda_{жс}(t), t \geq t_L^T \\ (\lambda_{жс}(t) + \lambda_{m\phi}(t))/2, t_S^T < t < t_L^T \\ \lambda_{m\phi}(t), t \leq t_S^T \end{cases} \quad (5)$$

где: $C_{эф}$ – эффективная теплоёмкость, ρ – плотность, λ – теплопроводность, t_L^T – температура ликвидуса, t_S^T – температура солидуса.

Уравнение распределения температуры в затвердевшей на поверхности добавки металлической оболочке имеет вид:
для добавки цилиндрической формы:

$$C_M \rho_M \frac{\partial T_M}{\partial \tau} = - \left[\frac{\partial}{\partial r} \lambda_M r \frac{\partial T_M}{\partial r} \right] + \frac{\lambda_M}{r} \frac{\partial T_M}{\partial r} + \frac{1}{r^2} \frac{\partial}{\partial \vartheta} \left[\lambda_M \frac{\partial T_M}{\partial \vartheta} \right], \quad (6)$$

$$r > R_0, \quad \vartheta_{ш} < \vartheta < \pi$$

для добавки сферической формы:

$$C_M \rho_M \frac{\partial T_M(r, \vartheta, \tau)}{\partial \tau} = \frac{\lambda_M}{r^2} \frac{\partial}{\partial r} \left[r^2 \frac{\partial T_M}{\partial r} \right] + \frac{\lambda_M}{r \sin \vartheta} \frac{\partial}{\partial \vartheta} \left[\frac{1}{r} \sin \vartheta \frac{\partial T_M}{\partial \vartheta} \right], \quad (7)$$

$$r > R_0, \quad (\vartheta_0 < \vartheta < \pi)$$

Принято, что точка P_M соответствует границе плавления (намерзания) затвердевшей металлической оболочки. При этом условие движения границы плавления (намерзания) записано в виде:

$$\alpha_M \left(t_M(r, \vartheta, \tau) - t_{пл}^M \right) - \lambda \frac{\partial t_M(P_M)}{\partial \bar{n}} = -\rho_M Q_M W(P_M); \quad t_M(P_M) = t_{пл}^M \quad (8)$$

Уравнение распределения температуры в затвердевшей шлаковой оболочке имеет вид:

для добавки цилиндрической формы:

$$C_{ш} \rho_{ш} \frac{\partial T_{ш}}{\partial \tau} = - \left[\frac{\partial}{\partial r} \lambda_{ш} r \frac{\partial T_{ш}}{\partial r} \right] + \frac{\lambda_{ш}}{r} \frac{\partial T_{ш}}{\partial r} + \frac{1}{r^2} \frac{\partial}{\partial \vartheta} \left[\lambda_{ш} \frac{\partial T_{ш}}{\partial \vartheta} \right], \quad (9)$$

$$r > R_0, \quad 0 < \vartheta < \vartheta_{ш}$$

для добавки сферической формы:

$$C_{ш} \rho_{ш} \frac{\partial T_{ш}(r, \vartheta, \tau)}{\partial \tau} = \frac{\lambda_{ш}}{r^2} \frac{\partial}{\partial r} \left[r^2 \frac{\partial T_{ш}}{\partial r} \right] + \frac{\lambda_{ш}}{r \sin \vartheta} \frac{\partial}{\partial \vartheta} \left[\frac{1}{r} \sin \vartheta \frac{\partial T_{ш}}{\partial \vartheta} \right], \quad (10)$$

$$r > R_0, (0 < \mathcal{G} < \mathcal{G}_0)$$

Принято, что точка $P_{ш}$ соответствует границе плавления (намерзания) затвердевшей шлаковой оболочке. При этом условие движения границы плавления (намерзания) записано в виде:

$$\alpha_{ш} \left(t_{ш}(r, \mathcal{G}, \tau) - t_{ш}^{ш} \right) - \lambda \frac{\partial t_{ш}(P_{ш})}{\partial \bar{n}} = -\rho_{ш} Q_{ш} W(P_{ш}); t_{ш}(P_{ш}) = t_{ш}^{ш} \quad (11)$$

Между намерзшей металлической оболочкой и поверхностью добавки существует идеальный тепловой контакт, т.е. заданы граничные условия IV рода. В качестве начального условия выбрано распределение температуры в добавке в момент её всплытия на поверхность раздела фаз.

Для расчёта коэффициента теплоотдачи α_m при обтекании добавки цилиндрической формы жидкой сталью значение критерия Нуссельта в условиях вынужденной конвекции определяли из следующего критериального уравнения, в котором за характерный размер d принят десятикратный диаметр цилиндра:

$$Nu_g = \frac{0,037 Re^{0,8} Pr}{1 + 2,433 Re^{-0,11} (Pr^{2/3} - 1)}, \quad (12)$$

где: Re , Pr , Nu – критерии Рейнольдса, Прандтля и Нуссельта соответственно.

Коэффициент теплоотдачи от жидкой стали при естественной конвекции определяли в виде:

$$\alpha_E = 2500(t_m - t_{vil})^{\frac{1}{3}} \quad (13)$$

Коэффициент теплоотдачи от жидкой стали в условиях смешанной конвекции определяли следующим выражением:

$$\alpha_m = \lambda_{жс} \frac{\sqrt{Nu_g^2 + Nu_e^2}}{10D_0} \quad (14)$$

Коэффициент теплоотдачи α_m в жидкой стали в зависимости от диаметра добавки сферической формы и скорости её обтекания определяли по формулам:

$$re = \frac{v_0 \cdot D_0}{v_S}; \quad gr = \frac{9,81 \cdot D_0^3 \cdot \beta_S \cdot (t_{gm} - t_{vil})}{v_S^2}; \quad rgr = \frac{gr \cdot v_S}{asg};$$

$$\alpha_m = \frac{\lambda_{sg}}{D_0} \cdot \left\{ \left(2 + 0,386 \cdot \left(\frac{re \cdot v_S}{asg} \right)^{\frac{1}{2}} \right)^2 + \left(2 + 0,45 \cdot rgr^{\frac{1}{4}} \right)^2 \right\}^{\frac{1}{2}} \quad (15)$$

Уравнения баланса теплоты для расчёта процесса плавления добавки цилиндрической формы

Для решения задачи применили метод элементарных тепловых балансов (метод контрольного объёма) [2–4]. В предлагаемом алгоритме расчёта использовали явную разностную схему. Формировали координатную сетку на половине поперечного сечения цилиндра. Для этого разбивали рассматриваемую половину сечения радиусами r_i , где $1 \leq i \leq M$ на M полукругов и лучами \mathcal{G}_j , где $1 \leq j \leq N$ на N секторов. В итоге получили контрольные объёмы с координатами i, j . Задали M_0 – начальное количество узлов по радиусу. Значение $M > M_0$ и учитывает максимально возможное количество намёрзших слоёв металла или шлака.

Вводили матрицы температур $t_{i,j}^{n+1}$ и $t_{i,j}^n$ ($1 \leq i \leq M$; $1 \leq j \leq N$) для (n) и $(n+1)$ временных слоев. Вводили матрицы теплофизических параметров плотности $\rho_{i,j}^n$, теплопроводности $\lambda_{i,j}^n$ и теплоемкости $C_{i,j}^n$, куда заносили соответствующие значения параметров материала цилиндра, затвердевших слоёв металла и шлака.

Рассматривали внутренние контрольные объёмы ($2 \leq i \leq M-1, 2 \leq j \leq N-1$), центральные контрольные объёмы ($i=1, 1 \leq j \leq N$) и поверхностные контрольные объёмы ($i=M, 1 \leq j \leq N$). Уравнение баланса теплоты для центральных контрольных объёмов ($i=1, 1 \leq j \leq N$) имеет вид:

$$V \cdot \rho_{1,j}^n \cdot C_{1,j}^n \frac{t_{1,j}^{n+1} - t_{1,j}^n}{\Delta \tau} = 0 - \frac{Ss}{\left(\frac{\Delta r}{2\lambda_{1,j}^n} + \frac{\Delta r}{2\lambda_{2,j}^n} \right)} \left(t_{1,j}^n - t_{2,j}^n \right) + \frac{S\delta}{\left(\frac{\Delta r \cdot \Delta \mathcal{G}}{4\lambda_{1,j-1}^n} + \frac{\Delta r \cdot \Delta \mathcal{G}}{4\lambda_{1,j}^n} \right)} \left(t_{1,j-1}^n - t_{1,j}^n \right) - \frac{S\delta}{\left(\frac{\Delta r \cdot \Delta \mathcal{G}}{4\lambda_{1,j}^n} + \frac{\Delta r \cdot \Delta \mathcal{G}}{4\lambda_{2,j}^n} \right)} \left(t_{1,j}^n - t_{2,j}^n \right) \quad (16)$$

Значения контрольного объёма V , верхней поверхности Ss и боковых поверхностей $S\delta$ определяли в виде:

$$V = \frac{\Delta r}{2} \cdot \frac{\Delta r}{2} \cdot \Delta \mathcal{G} \cdot \Delta z, \quad Ss = \frac{\Delta r}{2} \cdot \Delta \mathcal{G} \cdot \Delta z, \quad S\delta = \frac{\Delta r}{2} \cdot \Delta z.$$

В расчётах (при $j=1$) исключали второе слагаемое в правой части уравнения (16); (при $j=N$) исключали третье слагаемое в правой части того же уравнения.

Уравнения баланса теплоты для внутренних контрольных объёмов ($1 < i < M(j)$, $1 \leq j \leq N$) имеют вид:

$$\begin{aligned}
 V \cdot \rho_{i,j}^n \cdot C_{i,j}^n \frac{t_{i,j}^{n+1} - t_{i,j}^n}{\Delta \tau} = & \frac{Ss}{\left(\frac{\Delta r}{2\lambda_{i,j}^n} + \frac{\Delta r}{2\lambda_{i+1,j}^n} \right)} \left(t_{i+1,j}^n - t_{i,j}^n \right) - \frac{Sj}{\left(\frac{\Delta r}{2\lambda_{i,j}^n} + \frac{\Delta r}{2\lambda_{i-1,j}^n} \right)} \left(t_{i,j}^n - t_{i-1,j}^n \right) - \\
 & - \frac{Sb}{\left(\frac{\Delta r \cdot (i-1) \cdot \Delta \vartheta \cdot \Delta z}{2\lambda_{i,j}^n} + \frac{\Delta r \cdot (i-1) \cdot \Delta \vartheta \cdot \Delta z}{2\lambda_{i,j+1}^n} \right)} \left(t_{i,j}^n - t_{i,j+1}^n \right) + \\
 & + \frac{Sb}{\left(\frac{\Delta r \cdot (i-1) \cdot \Delta \vartheta \cdot \Delta z}{2\lambda_{i,j-1}^n} + \frac{\Delta r \cdot (i-1) \cdot \Delta \rho \cdot \Delta z}{2\lambda_{i,j}^n} \right)} \left(t_{i,j-1}^n - t_{i,j}^n \right)
 \end{aligned} \quad (17)$$

Значения контрольных объёмов V , верхней поверхности Ss , нижней поверхности Sj и боковых поверхностей Sb определяли уравнениями вида:

$$\begin{aligned}
 V &= r_i \cdot \Delta r \cdot \Delta \vartheta \cdot \Delta z = (i-1) \cdot \Delta r \cdot \Delta r \cdot \Delta \vartheta \cdot \Delta z ; \\
 S_s &= \left(i - \frac{1}{2} \right) \cdot \Delta r \cdot \Delta \vartheta \cdot \Delta z ; \\
 S_j &= \left(i - 1 - \frac{1}{2} \right) \cdot \Delta r \cdot \Delta \vartheta \cdot \Delta z ; \quad Sb = \Delta r \cdot \Delta z ;
 \end{aligned}$$

В расчётах (при $j=1$) исключали четвёртое слагаемое в правой части уравнения (17); (при $j=N$) исключали третье слагаемое в правой части того же уравнения. Согласно метода Дюзимбера при намерзании и последующем плавлении оболочек металла и шлака температура поверхностного слоя принимает значение соответствующей температуры плавления (намерзания), т.е. расчёт поля температур производится с граничными условиями I рода [5,6]. Для расчёта процесса намерзания (плавления) металлической или шлаковой оболочек на поверхностных контрольных объёмах определяли избыточную температуру T_{iz} из уравнения баланса теплоты:

$$\begin{aligned}
 V \cdot \rho_{M,j}^n \cdot C_{M,j}^n \frac{Tiz - Tpl}{\Delta \tau} &= \frac{S_j}{\left(\frac{\Delta r}{2\lambda_{M-1,j}^n} + \frac{\Delta r}{2\lambda_{M,j}^n} \right)} \left(t_{M-1,j}^n - Tpl \right) - S_s \cdot \alpha_j \left(Tpl - t_j^{oc} \right) + \\
 &+ \frac{Sb}{\left(\frac{\Delta r \cdot M \cdot \Delta \vartheta \cdot \Delta z}{2\lambda_{M,j-1}^n} + \frac{\Delta \cdot M \cdot \Delta \vartheta \cdot \Delta z}{2\lambda_{M,j}^n} \right)} \left(t_{M,j-1}^n - Tpl \right) - \\
 &- \frac{Sb}{\left(\frac{\Delta r \cdot M \cdot \Delta \vartheta \cdot \Delta z}{2\lambda_{M,j}^n} + \frac{\Delta r \cdot M \cdot \Delta \vartheta \cdot \Delta z}{2\lambda_{M,j+1}^n} \right)} \left(Tpl - t_{M,j+1}^n \right)
 \end{aligned} \tag{18}$$

Значения контрольных объёмов V , верхней поверхности S_s , нижней поверхности S_j и боковых поверхностей Sb определяли уравнениями вида:

$$\begin{aligned}
 V &= r_M \cdot \Delta r \cdot \Delta \rho = M \cdot \Delta r \cdot \Delta r \cdot \Delta \vartheta \cdot \Delta z; & S_j &= \left(M - \frac{1}{2} \right) \cdot \Delta r \cdot \Delta \vartheta \cdot \Delta z; \\
 S_s &= \left(M + \frac{1}{2} \right) \cdot \Delta r \cdot \Delta \vartheta \cdot \Delta z; & Sb &= \Delta r \cdot \Delta z.
 \end{aligned}$$

Уравнения баланса теплоты для расчёта процесса плавления добавки сферической формы

Для решения задачи формировали координатную сетку. Для этого разбивали сектор сферы на контрольные объёмы с координатами i, j . Значения температуры определяли в центре контрольных объёмов. Задали M_0 – заданное количество узлов по радиусу сферы, N_0 – заданное количество секторов по углу θ сферы. Вывели уравнения баланса теплоты для внутренних контрольных объёмов. На рис.2 представлена схема, соответствующих контрольных объёмов.

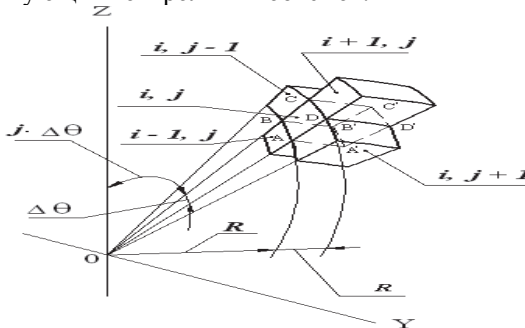


Рис.2. Схема внутренних контрольных объёмов сферы $1 < i < M_0, 1 < j < N_0$

Вершины сферического сектора, указанного на рис.2, имеют координаты: $A(R, \varphi, \theta)$, $B(R, \varphi, \theta+d\theta)$, $C(R+dR, \varphi, \theta+d\theta)$, $D(R+dR, \varphi, \theta)$, $A_1(R, \varphi+d\varphi, \theta)$, $B_1(R, \varphi+d\varphi, \theta+d\theta)$, $C_1(R+dR, \varphi+d\varphi, \theta+d\theta)$, $D_1(R+dR, \varphi+d\varphi, \theta)$.

Для вывода уравнений баланса теплоты вычисляли значения площадей граней, участвующих в теплообмене, и объём сферического сектора (контрольного объёма) с координатами i, j .

Площадь грани ABA_1B_1 вычисляли по уравнению:

$$S_{ABA_1B_1} = A \cdot A_1 \cdot AB = \left[\left(R - \frac{\Delta r}{2} \right) \cdot \sin \theta \cdot \Delta \phi \right] \cdot \left(R_0 - \frac{\Delta r}{2} \right) \cdot \Delta \theta = \quad (19)$$

$$= \left[\left(i \cdot \Delta r - \frac{\Delta r}{2} \right) \cdot \sin \theta \cdot \Delta \phi \right] \left(i \cdot \Delta r - \frac{\Delta r}{2} \right) \cdot \Delta \theta = \left[\Delta r \left(i - \frac{1}{2} \right) \right]^2 \cdot \sin \theta \cdot \Delta \theta \cdot \Delta \phi$$

Площадь грани DC_1CD_1 вычисляли по уравнению:

$$S_{DC_1CD_1} = DC \cdot DD_1 = \left[\left(R + \frac{\Delta r}{2} \right) \cdot \sin \theta \cdot \Delta \phi \right] \cdot \left(R + \frac{\Delta r}{2} \right) \cdot \Delta \theta = \quad (20)$$

$$= \left[\left(i \cdot \Delta r + \frac{\Delta r}{2} \right) \cdot \sin \theta \cdot \Delta \phi \right] \left(i \cdot \Delta r + \frac{\Delta r}{2} \right) \cdot \Delta \theta = \left[\Delta r \left(i + \frac{1}{2} \right) \right]^2 \cdot \sin \theta \cdot \Delta \theta \cdot \Delta \phi$$

Площадь грани AA_1DD_1 вычисляли по уравнению:

$$S_{AA_1DD_1} = AA_1 \cdot D_1D = \left[\left(R - \frac{\Delta r}{2} \right) \cdot \sin \theta \cdot \Delta \phi \right] \cdot \Delta r = \quad (21)$$

$$= \left[\left(i \cdot \Delta r - \frac{\Delta r}{2} \right) \cdot \sin \theta \cdot \Delta \phi \right] \cdot \Delta r = \left(i - \frac{1}{2} \right) \cdot \Delta r^2 \cdot \sin \theta \cdot \Delta \phi$$

Площадь грани BB_1CC_1 вычисляли по уравнению:

$$S_{BB_1CC_1} = BB_1 \cdot BC = \left[\left(R - \frac{\Delta r}{2} \right) \cdot \sin(\theta \cdot \Delta \theta) \cdot \Delta \phi \right] \cdot \Delta r = \quad (22)$$

$$= \left[\left(i \cdot \Delta r - \frac{\Delta r}{2} \right) \cdot \sin(\theta \cdot \Delta \theta) \cdot \Delta \phi \right] \cdot \Delta r = \left(i - \frac{1}{2} \right) \cdot \Delta r^2 \cdot \sin(\theta \cdot \Delta \theta) \cdot \Delta \phi$$

Объём сферического сектора вычисляли по уравнению:

$$\Delta V = S_{ABA_1B_1} \cdot \Delta r = \left[\Delta r \left(i - \frac{1}{2} \right) \right]^2 \cdot \Delta r \cdot \sin \theta \cdot \Delta \theta \cdot \Delta \varphi \quad (23)$$

Уравнение баланса теплоты для внутренних контрольных объёмов имеет вид:

$$\begin{aligned}
\Delta v \cdot \rho_{i,j} \cdot c_{i,j} \cdot \frac{t_{i,j}^{n+1} - t_{i,j}^n}{\Delta \tau} &= S_{AB_1B_1} \cdot \frac{2\lambda_{i,j} \cdot \lambda_{i-1,j}}{\lambda_{i,j} + \lambda_{i-1,j}} \cdot \frac{t_{i-1,j}^n - t_{i,j}^n}{\Delta r} - \\
-S_{DCC_1D_1} \cdot \frac{2\lambda_{i,j} \cdot \lambda_{i+1,j}}{\lambda_{i,j} + \lambda_{i+1,j}} \cdot \frac{t_{i,j}^n - t_{i+1,j}^n}{\Delta r} &+ S_{AA_1DD_1} \cdot \frac{2\lambda_{i,j-1} \cdot \lambda_{i,j}}{\lambda_{i,j} + \lambda_{i,j-1}} \cdot \frac{t_{i,j-1}^n - t_{i,j}^n}{\Delta \theta} - \\
-S_{BB_1CC_1} \cdot \frac{2\lambda_{i,j} \cdot \lambda_{i,j+1}}{\lambda_{i,j} + \lambda_{i,j+1}} \cdot \frac{t_{i,j}^n - t_{i,j+1}^n}{i \cdot \Delta r \cdot \Delta \theta} &
\end{aligned} \quad (24)$$

В расчётах (при $j=1$) исключали третье слагаемое в правой части уравнения (24); (при $j=N$) исключали четвертое слагаемое в правой части того же уравнения.

Ниже (рис.3) представлена схема центральных контрольных объёмов.

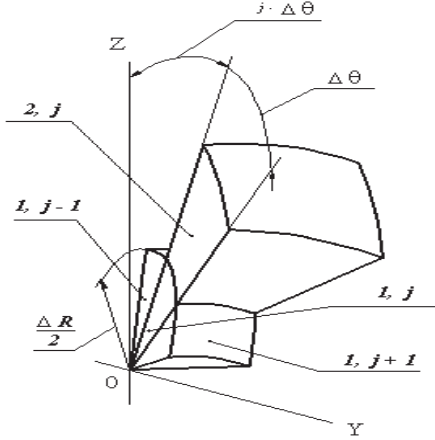


Рис.3. Схема центральных контрольных объёмов сферы

Уравнение баланса теплоты для центральных ($i=1, 1 \leq j \leq N_\theta$) контрольных объёмов имеет вид:

$$\Delta v \cdot \rho \cdot c \cdot \frac{t_{1,j}^{n+1} - t_{1,j}^n}{\Delta \tau} = 0 - S_{DCC_1D_1} \lambda \cdot \frac{t_{1,j}^n - t_{2,j}^n}{\Delta r} + S_{ODD_1} \lambda \cdot \frac{t_{1,j-1}^n - t_{1,j}^n}{\Delta r \cdot \Delta \theta} - S_{OBB_1} \lambda \cdot \frac{t_{1,j}^n - t_{1,j+1}^n}{\Delta r \cdot \Delta \theta} \quad (25)$$

В расчётах (при $j=1$) исключали второе слагаемое в правой части уравнения (25); (при $j=N$) исключали третье слагаемое в правой части того же уравнения.

Уравнение баланса теплоты для расчёта намерзания и последующего плавления металлической и шлаковой оболочек

В поверхностном контрольном объёме с координатами M_j, j ($1 \leq j \leq N_0$) может происходить намерзание (плавление) шлакового или/и металлического расплавов. Для этого определяли избыточную температуру t_u^j для каждого поверхностного контрольного объёма.

Уравнение баланса теплоты (по углу θ) для расчётов избыточной температуры t_u^j при намерзании и плавлении шлаковой или металлической оболочек на поверхностных контрольных объёмах имеет вид:

$$\Delta v \cdot \rho \cdot c \cdot \frac{t_u^j - t_{nl}}{\Delta \tau} = S_{AB, A_1 B_1} \cdot \frac{2\lambda_{M_{j-1}, j} \cdot \lambda_{M_j, j}}{\lambda_{M_{j-1}, j} + \lambda_{M_j, j}} \cdot \frac{t_{M_j, j}^n - t_{nl}}{\Delta r} - S_{DCC_1 D_1} \cdot \frac{1}{2} \left(1 + \frac{1}{M_j}\right)^2 \cdot \alpha \cdot \frac{t_{nl} - t_{жс}}{\Delta r} + \quad (26)$$

$$+ S_{AA_1 DD_1} \cdot \frac{\lambda_{M_j, j} \cdot \lambda_{M_{j-1}, j}}{\lambda_{M_j, j} + \lambda_{M_{j-1}, j}} \cdot \frac{t_{M_{j-1}, j-1}^n - t_{nl}}{(M_j \cdot \Delta r \cdot \Delta \theta)^2} - S_{BB_1 CC_1} \cdot \frac{2\lambda_{M_j, j} \cdot \lambda_{M_{j+1}, j}}{\lambda_{M_j, j} + \lambda_{M_{j+1}, j}} \cdot \frac{t_{nl} - t_{M_{j+1}, j+1}^n}{(M_j \cdot \Delta r \cdot \Delta \theta)^2}$$

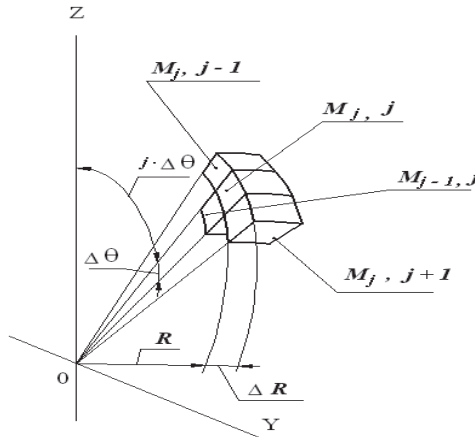


Рис.4. Схема поверхностных контрольных объёмов сферы

Если $j \leq J_h$ то: $\rho = \rho_u$; $c = c_u$; $t_{nl} = t_{nl}^u$; $\alpha = \alpha_u$; $t_{жс} = t_{жс}^u$.

Если $j > J_h$ то: $\rho = \rho_M$; $c = c_M$; $t_{nl} = t_{nl}^M$; $\alpha = \alpha_M$; $t_{жс} = t_{жс}^M$.

В расчётах (при $j=1$) исключали третье слагаемое в правой части уравнения (26); (при $j=N$) исключали четвертое слагаемое в правой части того же уравнения.

Значение Jh обозначает количество секторов (по j) добавки находящейся в шлаковом расплаве и зависит от плотности добавки и массы намёрзшего шлака и металла на поверхности добавки.

Уравнение баланса теплоты (по углу θ) при расчёте избыточной температуры t_u^j при плавлении первоначальной металлической оболочки расплава имеет вид:

$$\Delta v \cdot \rho \cdot c \cdot \frac{t_u^j - t_{vil}}{\Delta \tau} = S_{AB_1B_1} \cdot \frac{2\lambda_{M_{j-1},j} \cdot \lambda_{M_{j,j}}}{\lambda_{M_{j-1},j} + \lambda_{M_{j,j}}} \cdot \frac{t_{M_{j,j}}^n - t_{vil}}{\Delta r} - S_{DCC_1D_1} \cdot \frac{1}{2} \left(1 + \frac{1}{M_j}\right)^2 \cdot \alpha \cdot \frac{t_{vil} - t_{жс}}{\Delta r} + \quad (27)$$

$$+ S_{AA_1DD_1} \cdot \frac{\lambda_{M_{j,j}} \cdot \lambda_{M_{j,j-1}}}{\lambda_{M_{j,j}} + \lambda_{M_{j,j-1}}} \cdot \frac{t_{M_{j,j-1}}^n - t_{vil}}{(M_j \cdot \Delta r \cdot \Delta \theta)^2} - S_{BB_1CC_1} \cdot \frac{2\lambda_{M_{j,j}} \cdot \lambda_{M_{j,j+1}}}{\lambda_{M_{j,j}} + \lambda_{M_{j,j+1}}} \cdot \frac{t_{vil} - t_{M_{j,j+1}}^n}{(M_j \cdot \Delta r \cdot \Delta \theta)^2}$$

В расчётах (при $j=1$) исключали третье слагаемое в правой части уравнения (27); (при $j=N$) исключали четвёртое слагаемое в правой части того же уравнения.

Исходные данные и результаты исследования. На рис.5 представлены результаты численной оценки продолжительности плавления легкоплавкого ферросилиция марки ФС65 в виде кусков (диаметры фракций 10, 25 и 50мм) цилиндрической и сферической формы в условиях протекания процессов на границе раздела фаз «шлак – металл». Расчёты выполнены для разных значений температуры жидкой стали (1550, 1600 и 1650⁰С), разной толщины намёрзшей первоначальной металлической оболочки (1 и 2 мм) и без неё (0 мм) на введённом в расплав куске. В расчётах учтена различная скорость обтекания нижней части куска-добавки, погруженной в расплав стали, металлом (0,004; 0,01 и 1,0 м/с). Значения выбранной скорости являются характерными для условий ввода добавок в сталеразливочный ковш во время выпуска плавки из плавильного агрегата [7]. Использованные в расчётах физические и теплофизические свойства ФС65 взяты по данным [8], а стали и шлака – по данным [9].

Результаты оценки продолжительности плавления кускового ФС65 свидетельствуют о более длительном процессе в рассматриваемых условиях по сравнению с его протеканием в глубине ванны [7] при температуре стали 1600⁰С и независимо от формы добавки. Это можно объяснить

менее благоприятными условиями плавления верхней части куска, находящейся в жидком шлаке с коэффициентом теплоотдачи значительно ниже, по сравнению с жидким металлом. В целом, определено, что плавление на границе раздела фаз сферического куска менее продолжительное по сравнению с куском цилиндрической формы, что, вероятно, связано с повышенными коэффициентами теплоотдачи для сферы по сравнению с куском цилиндрической формы. Последнее обстоятельство особенно характерно для кусков мелких фракций (10 и 25мм).

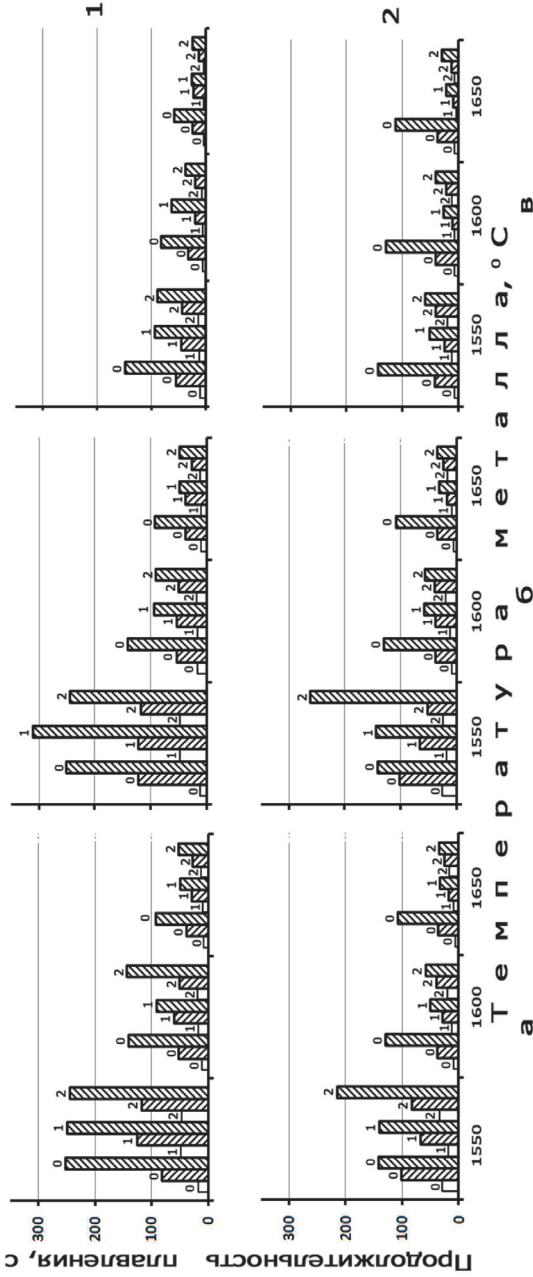


Рис.5. Продолжительность плавления кускового ферросилиция (ФС65) цилиндрической (1) и сферической (2) формы (фракции: □ – 10мм, ▨ – 25мм и ▩ – 50мм) при различных температурах металла, имеющего скорость обтекания куска 0,004м/с (а), 0,01м/с (б), 1м/с (в). Цифры над столбцами – толщина намерзшего металла (мм).

Подтверждены также ранее установленные (для условий плавления добавок в глубине металлической ванны) закономерности о влиянии температуры жидкого металла и скорости обтекания куска–добавки металлическим расплавом на продолжительность плавления последнего.

На этом этапе исследований не установлено однозначного влияния толщины намёрзшей первоначальной металлической оболочки на кинетику плавления легкоплавких добавок в этих условиях. Сопоставительным анализом приведённых выше результатов с данными авторов [10,11], экспериментально изучавших продолжительность плавления ферросилиция марок ФС25, ФС45 и ФС75, определено расхождение. Это обстоятельство можно объяснить разными условиями плавления добавок: в нашем случае учитывался слой шлака на поверхности металлического расплава, который окружал верхнюю часть добавки, а при экспериментальном изучении добавка вводилась в расплав, находящийся в инертной атмосфере и практически без слоя шлака. Поэтому окончательный вывод установленного факта будет сделан после разработки и моделирования в соответствие с условиями эксперимента.

Заключение. Приведённые результаты оценки длительности плавления легкоплавких добавок будут использованы в дальнейших исследованиях с целью повышения эффективности их использования в различных вариантах внепечной обработки стали. Планируется расширение теоретических исследований в направлении разработки и использования математических моделей процессов плавления и усвоения ведущих элементов жидким металлом из сверхтугоплавких, тугоплавких и легкоплавких добавок в условиях их протекания на границе раздела фаз «шлак – металл», а также уточнение имеющихся данных о кинетике процессов плавления и усвоения добавок разного состава, формы и назначения при вводе в металлическую ванну на разных этапах сталеплавильного передела.

Проверка адекватности результатов численных исследований будет проведена после разработки математических моделей и соответствующей оценки длительности процессов массопереноса продуктов плавления (растворения) в металлической ванне с учётом её гидродинамического и теплового состояний.

1. *Разработка* моделей и исследование процессов плавления тугоплавких добавок на границе раздела фаз / И.А.Павлюченков, В.П.Питюк, М.В.Бабенко и др. // Сб. «Фундаментальные и прикладные проблемы черной металлургии, 2009. – Вып. 20. – С.100–113.

2. *Теплообмен* и тепловые режимы в промышленных печах / В.И.Тимошпольский, И.А.Трусова, А.Б.Стеблов, И.А.Павлюченков – Минск, Высшая школа, 1992. –217с.

3. *Элементы теории систем и численные методы моделирования процессов теплопереноса* / В.С.Швыдкий, Н.А.Спирин, М.Г.Ладытичев и др. –М: Интермет инжиниринг, 1999. –520с.

4. *Самарский А.А., Вабищевич П.Н.* Вычислительная теплопередача. – М.: Едиториал УРСС, 2003. – 784с.

5. *Бабенко М.В., Павлюченков И.А.* Алгоритм расчёта (на основе метода Дюзимбера) двухмерной задачи плавления цилиндра в расплаве.// *Металлургійна теплотехніка: Зб. наук. пр. НМетАУ.* – Дніпропетровськ: ПП Грек О.С., 2006. – С.3–7.

6. *Павлюченков И.А.* Численное моделирование (на основе метода Дюзимбера) процессов плавления тел в расплаве // *Математичне моделювання.* – 1997. – №2. – С. 37 – 43.

7. *Вихлевицук В.А., Харахулах В.С., Бродский С.С.* Ковшевая доводка стали. Днепропетровск: Системные технологии, 2000. – 190с.

8. *Питюк В.П., Петров А.Ф., Греков С.В., Буриштин В.А.* Прогнозирование свойств стандартных марганец– и кремнийсодержащих ферросплавов. Сб. «Фундаментальные и прикладные проблемы черной металлургии, 2008. –Вып. 17. – С.218–230.

9. *Влияние защитной оболочки и утяжелителя на кинетику плавления алюминиевого слитка на границе шлак – металл сталеразливочного ковша.* / И.А.Павлюченков, М.В.Бабенко, Р.В.Волошин и др.//*Теория и практика металлургии.* – 2010. – №№1–2. – С.49–53.

10. *Изучение влияния технологических факторов на время плавления кремнистых ферросплавов в жидком металле.* / Е.Ю.Лозовая, А.В.Некрасов, В.И.Жучков и др.// *Расплавы.* – 2001. – №3. – С.10–17.

11. *Математическое моделирование процессов плавления ферросплавов в железуглеродистом расплаве* / А.В.Некрасов, Е.Ю.Лозовая А.С.Носков и др. // *Тр.Всероссийской науч.–техн. конф. «Моделирование, программное обеспечение и наукоёмкие технологии в металлургии»* Под общей редакцией С.П. Мочалова. СибГИУ. – Новокузнецк, 2001. – 497с.

*Статья рекомендована к печати
докт. техн. наук, проф. В.Ф.Поляковым*

І.О.Павлюченков, В.П.Піптюк, І.М.Логозинський, М.В.Бабенко, С.В.Греков, Г.О.Андрієвський

Дослідження кінетики плавлення легкоплавких грудкових добавок на межі розділу фаз «шлак – метал».

Розроблено математичну модель і алгоритм розрахунку процесів плавлення легкоплавких грудкових добавок на межі розділу фаз «шлак–метал». Проведено моделювання плавлення цих добавок циліндричної та сферичної форми у вказаних умовах. Оцінено тривалість плавлення легкоплавких добавок різного фракційного складу при введенні в заповнюваний металевим розплавом сталерозливний ківш.